

Microwave Dielectric Properties of BaNd₂Ti₅O₁₄-BaO-B₂O₃-K₂O-SiO₂-xTiO₂ Glass Composites

Dong-Eun Kim,*,** Sung-Min Lee,*† Hyung-Tae Kim,* and Hyung-Sun Kim**

*Korea Institute of Ceramic Engineering and Technology, Seoul 153-801, Korea

**School of Materials Engineering, Inha University, Incheon 402-751, Korea

(Received December 4, 2006; Accepted January 10, 2007)

BaO-B₂O₃-SiO₂-K₂O-xTiO₂ Glass의 첨가에 의한 BaNd₂Ti₅O₁₄-Glass 복합체의 마이크로파 유전특성

김동은*,** · 이성민*† · 김형태* · 김형순**

*요업(세라믹)기술원 기능소재팀

**인하대학교 세라믹공학부

(2006년 12월 4일 접수; 2007년 1월 10일 승인)

ABSTRACT

The effects of TiO₂ in the glasses on the shrinkage and dielectric properties of BNT-glass composites have been investigated. Without TiO₂ addition, BNT-glass composite showed two humps in the shrinkage curve, which are related with crystallization of BaTi(BO₃)₂ and Bi₄Ti₃O₁₂. However, the increase of TiO₂ addition resulted in the decrease of 2nd hump in the shrinkage. The increased dielectric constant with TiO₂ addition might be due to the reduced crystallization of Bi₄Ti₃O₁₂. A dielectric constant of 52, a quality factor of 5088 GHz, and a temperature coefficient of resonant frequency of -0.16 ppm/°C were obtained for a specimen containing TiO₂-added glasses, without sacrificing the benefits of high ϵ_r and low TCF of BNT ceramics.

Key words : LTCC, Microwave, Dielectric properties, Glass, TiO₂

1. 서 론

최근의 정보통신 분야는 부품의 소형화, 고성능화, 저 가격화를 필수적으로 요구하고 있으며, 이를 뒷받침 할 수 있는 세라믹 소자 부품들이 통신시스템의 성능을 좌우하는 중요한 핵심부품으로 자리 잡고 있다. 향후의 통신 시스템이 수십 GHz의 준 밀리미터파 영역으로 이동함에 따라 통신부품의 지속적인 소형화와 집적화가 필요하며, 이러한 요구에 부응하기 위해서 적층구조가 가능한 저온 동시 소성 세라믹(low temperature co-fired ceramic, LTCC) 기술이 대두되었다.^[1-10] 소형화를 위한 유전체의 부품 크기는 유전율의 제곱근에 반비례하므로 높은 유전율 갖는 유전체 재료일수록 소형 디바이스를 제작하는데 중요한 인자로 작용할 수 있다.^[1]

현재 연구된 고 유전율을 가지는 재료로써 BaO-TiO₂ 계열, 티탄산 화합물 계열, 복합 페로브스카이트 계열 등 다양한 유전체 재료들이 연구되었는데, 특히 BaO-TiO₂ 계

에 희토류 금속이 첨가된 BaO-Nd₂O₃-TiO₂ (이하 BNT) 시스템이 온도에 대한 공진주파수 안정성($\tau_f=6.2$)과 높은 유전율($\epsilon_r=90$)을 가지므로 LTCC 모듈용 세라믹 재료로 활발한 연구가 되어 왔다.^[2-5] 하지만, BNT 분말은 소성온도가 1300°C 이상으로 높아 LTCC에서 사용되는 Ag(961°C)나 Cu(1083°C) 전극과 동시 소성하기 어렵다는 문제점이 있었다. 마이크로파 유전특성이 우수한 BNT 세라믹의 소성온도를 전기적 특성이 우수한 Ag 전극의 소성온도(900°C 이하) 만큼 낮추기 위해 저융점 유리 프릿을 첨가하는 연구들이 보고되었다.^[6-9] 그러나 900°C 이하의 저온 소결과 유전율 50 이상의 중·고 유전율을 보여주는 연구는 부족하였으며 특히 glass 조성의 체계적인 변화를 통하여 유리조성이 결정상 생성과 유전특성에 미치는 영향에 대한 연구는 미비하였다.^[6-10]

본 연구에서는 BNT의 우수한 특성을 활용한 LTCC 조성개발을 위하여 사용하고자 하는 유리 조성 중에 TiO₂ 함량을 변화시켰을 때 생기는 유전 특성의 변화를 고찰하였다. 먼저 TiO₂ 함량에 따른 유리 자체의 유전특성을 분석하였으며, 이러한 유리와 BNT 세라믹 복합체를 저온 소성하여 유전 특성을 고찰하였다. 또한 복합체의 유전특성을 열분석과 결정상 분석, 미세구조 분석을 통하여 유

[†]Corresponding author : Sung-Min Lee

E-mail : smlee@kicet.re.kr

Tel : +82-2-3282-2471 Fax : +82-2-3282-7793

전특성 향상의 원인에 대하여 고찰하고자 하였다.

2. 실험 방법

본 실험에서 사용된 유리의 출발원료로는 BaCO₃, B₂O₃, SiO₂, K₂CO₃, TiO₂(≥99%, Kojundo Chemical Laboratory Co. Ltd., Japan)를 사용하였고, 유전체 세라믹 재료로서 BNT계로서 비교적 높은 온도 특성을 보상해 주기 위해 BaO 대신에 Bi₂O₃가 일부 치환된 상용분말(MBRT-90, Fuji Titanium Industry Co. Ltd., Japan)을 사용하였다(Table 1). 실험에 사용된 유리의 기본조성으로 30BaO-40B₂O₃-20K₂O-10SiO₂계(mol%)를 선택하여 TiO₂를 BaO대비 0~1.0 만큼

Table 1. Composition and Properties of MBRT-90 Commercial Ceramic Powder from Fuji Titanium Industry Co. Ltd.

| Chemical formula | BaTiO ₃ +Nd ₂ (TiO ₃) ₃ +Bi ₂ (TiO ₃) ₃ | | | | |
|-------------------------------------|--|--------------|--|--|--|
| Ingredients | BaTiO ₃ | 25 wt% | | | |
| | Nd ₂ (TiO ₃) ₃ | 59 wt% | | | |
| | Bi ₂ (TiO ₃) ₃ | 15 wt% | | | |
| | MnO ₂ , Al ₂ O ₃ , SiO ₂ | Max. 1 wt% | | | |
| | H ₂ O | Max. 0.2 wt% | | | |
| Microwave characteristics (at 20°C) | ϵ_r | 90 | | | |
| | $Q \times f_0$ (GHz) | 6140 | | | |
| | τ_f (ppm/°C)+20~+80°C | 6.2 | | | |

Table 2. Chemical Compositions of Glasses Used in This Experiment

| BaO | B ₂ O ₃ | SiO ₂ | K ₂ O | TiO ₂ | Composition (mol%) | | TiO ₂ /BaO (Glass code) |
|------|-------------------------------|------------------|------------------|------------------|--------------------|-------|---------------------------------------|
| | | | | | - | 3 | |
| 30.0 | 40.0 | 10.0 | 20.0 | 0.0 | 0.0 | (00T) | |
| 28.3 | 37.7 | 9.4 | 18.9 | 5.7 | 0.2 | (02T) | |
| 26.8 | 35.7 | 8.9 | 17.9 | 10.7 | 0.4 | (04T) | |
| 25.4 | 33.9 | 8.5 | 16.9 | 15.3 | 0.6 | (06T) | |
| 24.2 | 32.3 | 8.1 | 16.1 | 19.4 | 0.8 | (08T) | |
| 23.1 | 30.8 | 7.7 | 15.4 | 23.1 | 1.0 | (10T) | |

Table 3. DTA Analysis Results

| Item Glass code | Heating rate(°C/min) | T_g | | | T_p | | | T_i | Activation energy (Kcal/mole) |
|--------------------|----------------------|-------|-----|-----|-------|-----|-----|-------|----------------------------------|
| | | - | 3 | 5 | 10 | 15 | 20 | | |
| 00T | | 558 | 725 | 732 | 735 | 749 | 760 | 926 | 107 |
| 02T | | 552 | 691 | 713 | 722 | 742 | 752 | 913 | 63 |
| 04T | | 550 | 690 | 698 | 706 | 727 | 747 | 923 | 62 |
| 06T | | 548 | 686 | 700 | 718 | 734 | 753 | 948 | 57 |
| 08T | | 551 | 684 | 692 | 719 | 738 | 745 | 954 | 55 |
| 10T | | 552 | 696 | 705 | 719 | 728 | 735 | 968 | 94 |

추가시킨 시료를 알루미나 유발로 혼합하여 준비하였다 (Table 2). 각각의 혼합분말을 백금도가니를 사용하여 전기로 내에 넣어 1300°C에서 용융시켰다. 용융된 유리를 구리 금속판에 급냉시킨 후 마노 유발에서 조분쇄를 거친 뒤, 지르코니아 볼과 에틸알코올을 용매로 planetary mill을 이용하여 12시간 동안 분쇄하여 평균 입경이 0.8 μm가 되는 유리분말을 제조하였다. 상기 제조한 유리(20 wt%)와 BNT 세라믹(80 wt%)을 에탄올 용매와 지르코니아 볼을 함께 혼합하여 24시간 동안 볼밀한 다음, 건조기에서 완전히 건조하여 혼합된 분말을 얻었다. 혼합 분말을 지름 10 mm, 두께 5 mm로 일축 가압 성형한 후, CIP를 통해 200 MPa로 등압 성형을 하였다. 이렇게 준비된 성형체를 5°C/min의 승온 속도로 800°C, 850°C, 900°C, 950°C에서 2 시간 동안 소결하였다.

아르키메데스(Archimedes)법을 이용하여 소결체의 밀도를 구하였다. 미세구조 분석을 위해 소결된 시편을 SiC 연마지로 연마한 다음 3 μm 다이아몬드 페이스트로 미세연마하고 FE-SEM(JSM-6700F, JEOL, Japan)을 이용하여 관찰하였다. 열적 특성을 분석하기 위하여 시차 열분석 장치(Differential Thermal Analysis, Q600, TA, USA), dilatometer(L76, Linseis, Germany)를 사용하여 10°C/min의 승온 속도로 대기중에서 1000°C까지 측정하였다. X-선 회절 분석기(D/max-2500/PC, Rigaku, Japan)를 이용하여 20=10~70° 구간에서 4°/min의 속도로 회절 패턴을 구하였다.

소결체의 고주파 유전특성을 network analyzer(8720ES, Agilent, USA)를 이용하여 측정하였고, 유전상수는 Hakk-Coleman¹¹⁾의 평형 도체판법(post resonator method)으로, 품질 계수($Q \times f$)와 온도 계수(Tcf)는 공동 공진기법(transmission cavity method)으로 측정하였다.

3. 결과 및 토의

3.1. 유리의 소성 거동 및 유전 특성

Table 3에 각 유리조성의 유리전이점(T_g)과 결정화온도(T_p), 용점(T_i)을 승온 속도에 따라 나타내었다. T_g 는 TiO₂

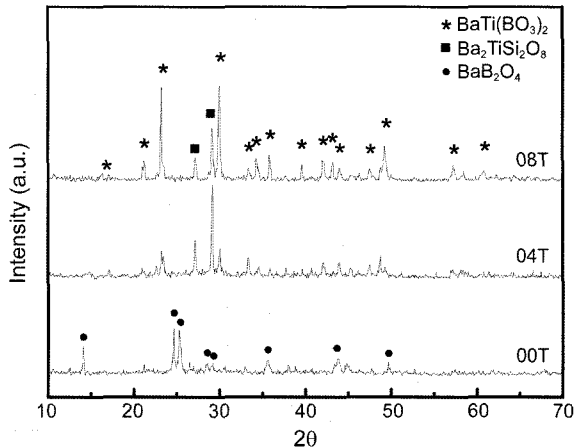


Fig. 1. X-ray diffraction patterns of glasses heat-treated at 750°C for 2 h with respect to TiO₂ addition.

첨가량과 크게 관계없이 550°C로 유사한 값을 나타내었다. 그러나 결정화 최고온도(T_p)는 TiO₂ 첨가량이 많아질수록 고온에서 저온으로 이동하였다. 또한 유리분말에 대해 3°C, 5°C, 10°C, 15°C 및 20°C/min의 승온 속도 별로 T_p 를 측정하였고, 승온 속도 $\ln\beta$ 대 결정화 온도 $1/T_p$ 의 곡선으로부터 얻은 기울기로 활성화 에너지를 계산하였다(Table 3).¹²⁾

유리분말을 750°C에서 2시간씩 유지시켜 결정화시킨 후 X-선 회절 분석을 통하여 결정상을 분석하였다(Fig. 1). TiO₂를 첨가하지 않은 00T 조성에서는 단일상으로 BaB₂O₄ (JCPDS Card #38-0722) 결정상이 나타났다. TiO₂를 첨가한 04T에서는 주 결정상으로 Ba₂TiSi₂O₈(JCPDS Card #70-1920), 부 결정상으로 BaTi(BO₃)₂ (JCPDS Card #35-0825)가 나타났지만, TiO₂ 첨가량이 많아질수록 BaTi(BO₃)₂ 가 주 결정상으로 변화하였다(08T).

Fig. 2는 용융 후 유리전이점보다 10°C 높은 온도에서 1시간 유지 후 로냉하여 제조한 00T와 08T의 벌크 유리에 대한 밀도와 유전율, 공진주파수 온도계수를 측정한 결과이다. Ti/Ba의 비가 0에서 0.8로 증가함에 따라 밀도는 증가하였으나 그 폭이 1% 정도로 작았다. 이에 비하여 유전율은 8.0에서 10.0으로 약 20% 정도의 증가가 있었고 공진주파수 온도계수는 -58 ppm/°C에서 -32 ppm/°C로 개선되었다. 이러한 유리 자체의 특성으로도 Ti/Ba의 함량이 높을수록 유리-세라믹 복합체의 최종 특성발현에 도움을 줄 것으로 기대되었다.

3.2. 유리-세라믹 복합체

Fig. 3은 유리의 TiO₂의 첨가량에 따른 BNT 복합체의 수축률 변화를 보여주고 있다. 유리분말(20 wt%)과 세라믹 분말(80 wt%)의 혼합물에서 소결의 시작점은 유리분말의 유리 전이점과 유사한 560°C 부근에서 나타났다. 모든 소결체에서는 660~740°C 사이에서 수축이 잠시 정체되는 현상이 나타났다. 또한, 00T와 02T, 04T에서는 760~840°C 부근에서 또 한번 수축률이 정체되는 현상이 관찰되었다.

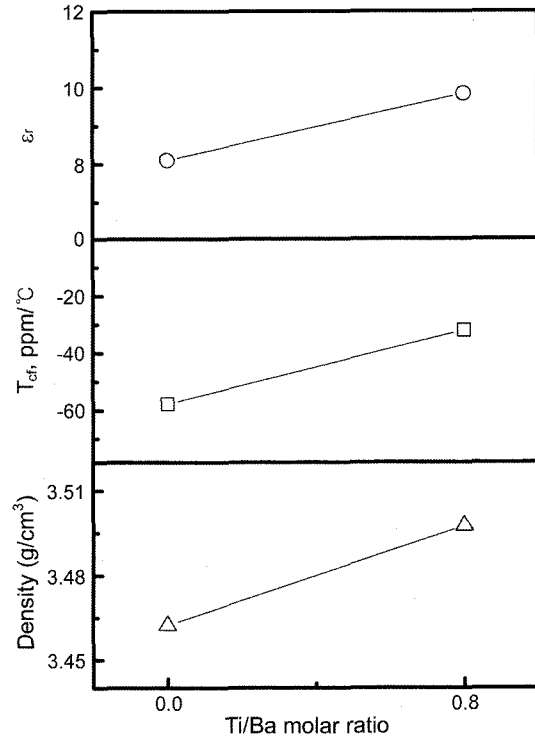


Fig. 2. Microwave dielectric properties of bulk glasses with respect to TiO₂ addition.

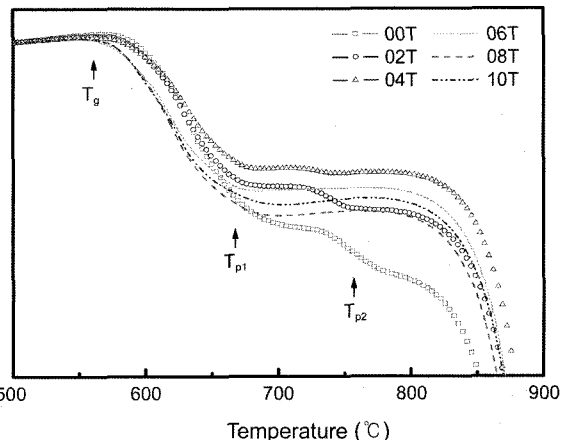


Fig. 3. Shrinkage curves of the BNT-glass composites under a heating rate of 10°C/min.

유리 분말의 결정화 온도(T_p)와 유리와 세라믹을 혼합한 분말의 결정화 온도(T_{p1} , T_{p2})를 TiO₂ 첨가량에 따라 나타내었다(Fig. 4). 유리-세라믹 복합체의 경우 앞선 유리 분말 자체의 열분석 경향과는 다른 양상을 보였다. 00T 유리 분말에서는 단일상의 결정상이 생성되었고, 02~10T 유리 분말에서는 2개의 결정상이 생성되었는데 비하여 (Fig. 1) 유리-세라믹 복합체에서는 00T~04T까지는 2개의

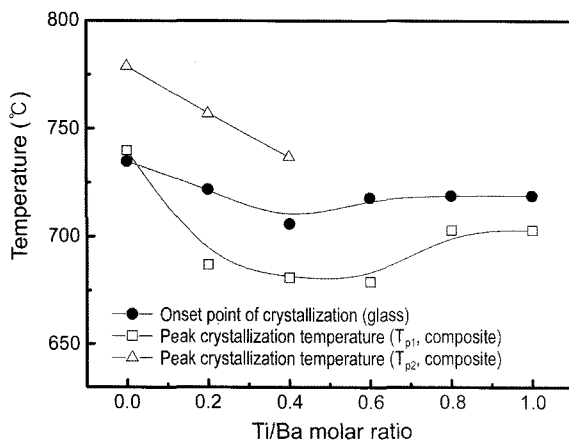


Fig. 4. T_c and T_p from DTA results in the mixture powder (20 wt% glass and 80 wt% ceramic) and the glass.

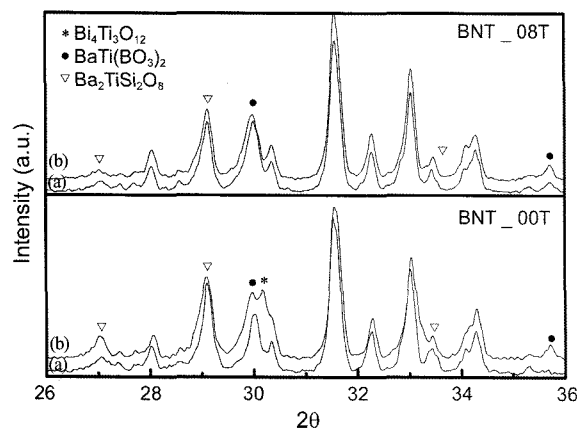


Fig. 5. XRD pattern of BNT_00T and 08T composites sintered at (a) 700°C and (b) 800°C for 5 min.

발열반응 peak가 출현하였고, 06~10T까지는 1개의 발열 peak만이 출현하였다.

Fig. 5에서는 분당 10°씩 승온하고 700°C와 800°C에서 5분간 열처리한 BNT 복합체의 XRD 결과이다. 모든 복합체에서의 주 결정상은 BaNd₂Ti₅O₁₄이고 BNT_00T 복합체에서는 700°C에서 열처리한 경우 추가로 BaTi(BO₃)₂ 결정상이 형성되었고, 800°C에서 열처리한 경우 BNT에 포함된 Bi가 유리와 반응하여 생성되었을 것으로 추정되는 Bi₄Ti₃O₁₂ 결정상이 나타났다. 반면에 BNT_08T에서는 700~800°C 모두에서 BaTi(BO₃)₂ 결정상만이 형성됨을 볼 수 있었다. 그러나, 이 결정상들은 Fig. 4에서와 같이 유리자체의 결정상과는 다름을 알 수 있었다.

따라서 Fig. 3의 복합체의 수축률 변화는 특정 온도에서 유리 결정상의 생성과 밀접한 관련이 있는 것으로 보인다. BNT_00T, 02T, 04T 복합체에서는 수축의 정체가 두 번 나타나는데, 첫 번째 정체는 700°C 전후로 BaTi(BO₃)₂ 결정상이 형성되면서 나타나고, 두 번째 hump는 800°C 부근에서 BNT 상에 치환되어 있던 Bi 상이 유리와 반응

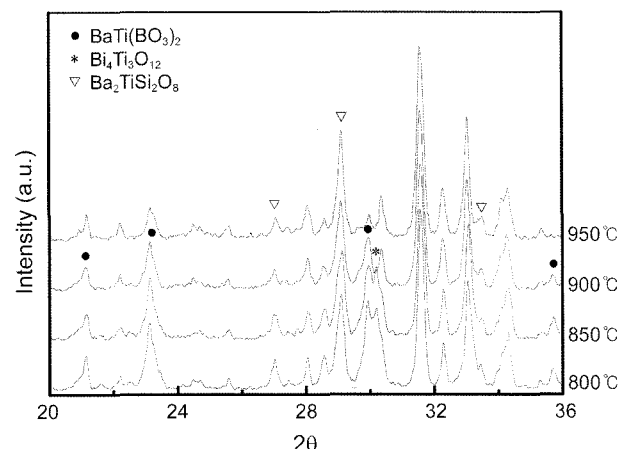


Fig. 6. XRD pattern of BNT_00T composites sintered at various temperatures for 2 h.

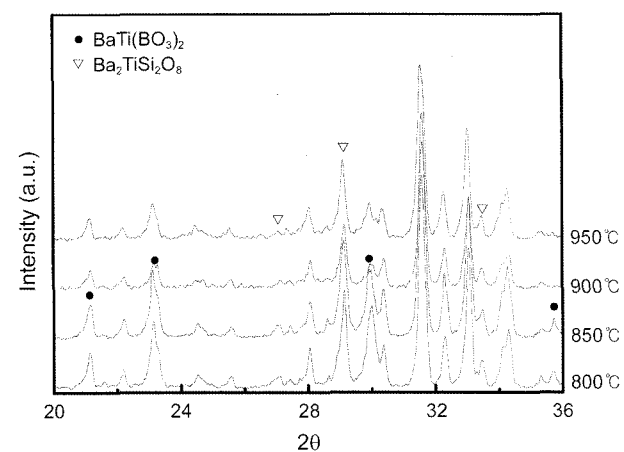


Fig. 7. XRD pattern of BNT_08T composites sintered at various temperatures for 2 h.

하여 Bi₄Ti₃O₁₂ 결정상이 형성되면서 나타난 것이다. 반면에, BNT_06T, 08T, 10T 복합체의 경우 BaTi(BO₃)₂ 결정상만이 형성되어 한 번의 hump 현상만을 보인 것으로 판단된다.

800~950°C의 소결 온도에서 2시간 소결한 시편의 결정상 분석을 실시하였다(Figs. 6, 7). BNT_00T 복합체의 경우 BaTi(BO₃)₂ 결정상이 900°C 이후부터 감소하였고, Bi₄Ti₃O₁₂ 결정상은 850°C 이후로 많은 양의 감소가 일어남을 알 수 있었다. 반면에 08T 복합체의 경우 BaTi(BO₃)₂ 결정상의 출현과 사라짐은 00T와 유사하였지만, Bi₄Ti₃O₁₂ 결정상은 관찰되지 않았다.

TiO₂ 첨가량을 다르게 한 유리-세라믹 복합체를 900°C에서 2시간 소결한 시편에 대한 밀도의 변화를 Fig. 8에 나타내었다. 유리조성에 TiO₂의 첨가량이 증가할수록 900°C에서 소결한 시편의 밀도 값은 감소하였으나 밀도 감소 폭은 1% 미만이었다.

Fig. 9는 성분에 따른 명암 차이를 back scattered 이미

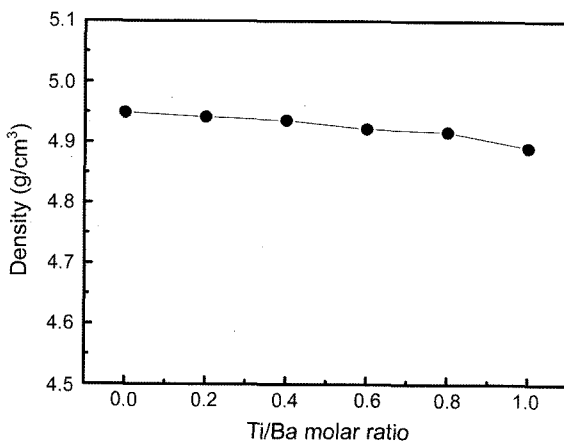


Fig. 8. Variations of bulk densities of BNT-glass composites sintered at 900°C for 2 h.

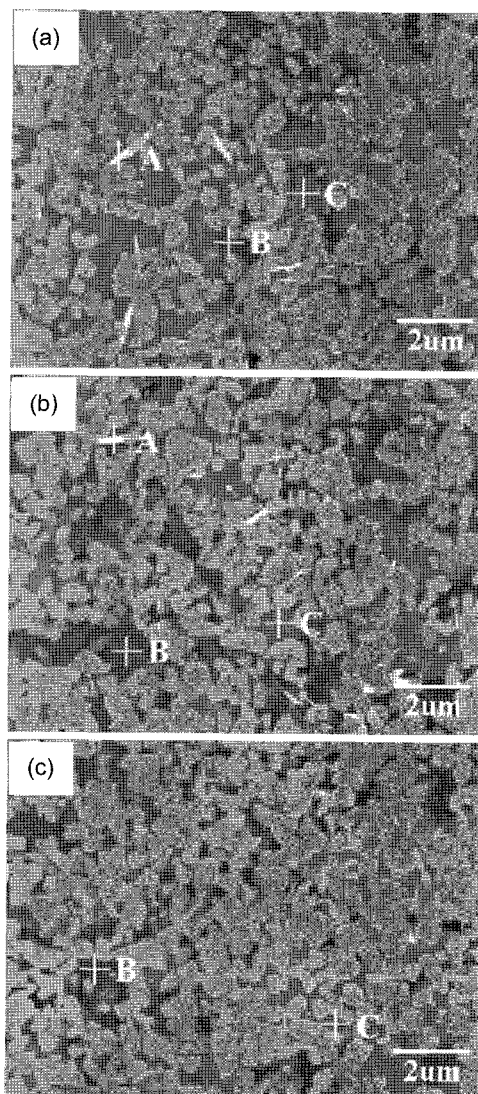


Fig. 9. Back scattered images of samples sintered at 900°C for 2 h: (a) BNT_00T, (b) BNT_04T, and (c) BNT_08T (A: $\text{Bi}_4\text{Ti}_3\text{O}_{12}$, B: $\text{BaTi}(\text{BO}_3)_2$, C: $\text{Ba}_2\text{TiSi}_2\text{O}_8$).

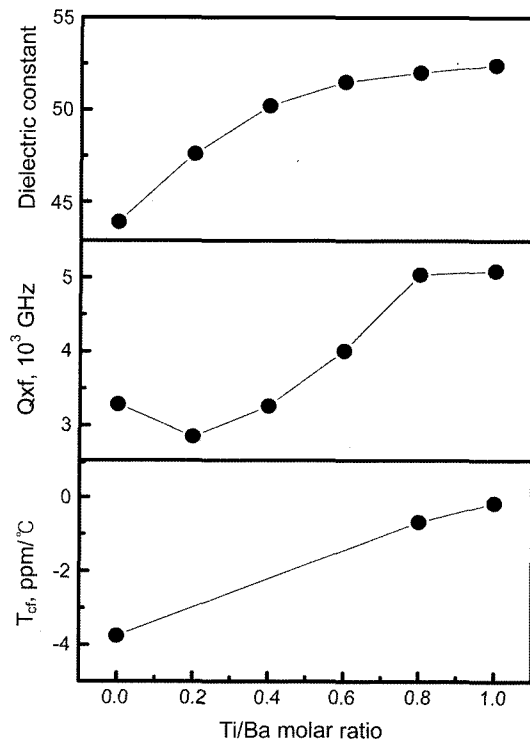


Fig. 10. Microwave dielectric properties of glass-ceramic composites sintered at 900°C for 2 h.

지를 통해 보여주고 있다. TiO_2 첨가량에 따른 입자크기 변화는 크지 않았다. EDX 분석 결과 BNT_00T 복합체의 경우 Bi-rich 상이 다수 관찰되었고 BNT_08T 복합체의 경우 Bi-rich 상이 거의 관찰되지 않았다.

유리-세라믹 복합체에서 유리 조성에 TiO_2 첨가량이 많아질수록 유전율과 품질계수, 공진주파수 온도계수는 향상됨을 보였다(Fig. 10). BNT_10T 복합체에서의 유전율 (ϵ_r)은 52.4, 품질계수(Q^*f)는 5088 GHz, 주파수 온도계수 (τ_f)는 $-0.16 \text{ ppm/}^\circ\text{C}$ 값을 나타내었다. Fig. 2에서는 08T 유리가 00T 유리보다 17%의 유전율 향상을 보였다. 이는 유리-세라믹 복합체에서 20 wt%를 첨가한 유리 함량을 고려하면 유전율이 높은 Ti 함유 유리를 사용한 복합체에서의 유전율의 증가가 3.4%로 예상되지만, 실제로는 17%의 증가를 보였다. 즉, 복합체의 유전율 증가 효과는 유리의 유전율 증가 때문만이 아님을 알 수 있다.

밀도는 유전율과 깊은 상관 관계를 가지고 있다고 알려져 있다.⁶⁻¹¹⁾ Fig. 8에서는 밀도의 변화를 나타내었는데 유리에 TiO_2 첨가량이 증가할수록 900°C에서 소결한 시편의 밀도는 감소하였다. 이는 결정화제인 TiO_2 의 첨가량이 많아지면서 소성과정에서 유리 프릿의 연화에 의한 수축 속도보다도 결정화로 인하여 치밀화가 방해받는 것으로 생각하여 볼 수 있다. X-선 회절분석과 미세구조에서 나타나듯이 BNT_00T 복합체의 경우 BNT로부터 Bi_2O_3 의 용출과 TiO_2 와의 반응으로 인한 $\text{Bi}_4\text{Ti}_3\text{O}_{12}$ (밀도: 8.045 g/cm^3)

의 존재를 확인하였고, 유리에 TiO₂ 첨가량이 증가할수록 Bi에 의한 결정상이 억제되는 것으로 보였다.

Fig. 9의 미세구조에서도 이러한 경향이 확인되었다. BNT_00T 복합체에는 Bi-rich 상들이 분포되어 있는 것을 확인할 수 있었으며, BNT_04T, 08T 복합체로 갈수록 그 양은 감소하였다. 따라서 BNT 세라믹에 BaO-B₂O₃-SiO₂-K₂O-xTiO₂계 유리를 혼합한 복합체에서는 밀도에 의한 치밀성보다는 TiO₂ 함량 등 유리의 조성이 Bi₄Ti₃O₁₂ 결정상 형성에 영향을 끼치며 이러한 결정상이 복합체의 유전율에 더욱 큰 영향을 끼친 것으로 판단된다.

4. 결 론

본 연구에서는 저온 동시소성 세라믹에 사용될 수 있는 BaO-B₂O₃-K₂O-SiO₂-xTiO₂계 유리에 BaNd₂Ti₅O₁₄계 세라믹을 혼합하여 유리의 결정화가 LTCC의 소성 및 유전 특성에 미치는 영향을 조사하였다. 순수 유리의 결정상으로 00T의 경우 단일상인 BaB₂O₄가 나타났고, 유리에 TiO₂ 첨가량이 증가할수록 주 결정상으로 BaTi(BO₃)₂ 상과 Ba₂TiSi₂O₈상이 나타났다. 유리 조성에 TiO₂ 첨가량이 증가할수록 유리의 밀도와 유전율은 증가하였다. 유리-세라믹 복합체의 결정상 분석 결과 BNT_00T의 주 결정상은 BaTi(BO₃)₂였고, 부 결정상은 Bi₄Ti₃O₁₂로 나타났다. 반면에, BNT_08T 복합체의 결정상에는 Bi₄Ti₃O₁₂ 결정상을 확인할 수 없었다. 유리 조성에 TiO₂ 첨가량이 증가할수록 900°C에서 소결한 유리-세라믹 복합체의 밀도는 미세하게 감소하였으나 마이크로파 유전특성은 유리조성에 TiO₂ 첨가량이 많을수록 향상되었다. BNT_10T 조성을 900°C에서 소결한 시험편의 유전율(ϵ_r)은 52.4, 품질계수(Q×f) 5088 GHz, 그리고 공진주파수 온도계수(τ_f)가 -0.16 ppm/°C^o었다.

REFERENCES

- C. Q. Scrantom and J. C. Lawson, "LTCC Technology: Where We Are and Where We're Going-II," *In IEEE Symposium on Technologies for Wireless Applications*, 193-200 (1999).
- S. Gabrscek and D. Kolar, "Compounds in the BaO-RE₂O₃-TiO₂ System," *J. Mater. Sci. Lett.*, **1** 37-8 (1982).
- C. C. Cheng, T. E. Hsieh, and I. N. Lin, "Effects of Composition on Low Temperature Sinterable Ba-Nd-Sm-Ti-O Microwave Dielectric Materials," *J. Eur. Ceram. Soc.*, **24** 1787-90 (2004).
- J. M. Durand and J. P. Boilot, "Microwave Characterisation of BaO-Nd₂O₃-TiO₂-Bi₂O₃ Dielectric Resonators," *J. Mater. Sci. Lett.*, **6** 134-36 (1987).
- T. Jaakola, A. Uusimaki, R. Rautioaho, and S. Leppavuori, "Matrix Phase in Ceramics with Composition Near BaO·Nd₂O₃·5TiO₂," *J. Am. Ceram. Soc.*, **69** C234-35 (1986).
- D. S. Heo, W. S. Lee, S. J. Jeong, J. S. Song, F. Utsuno, and B. K. Ryu, "Sintering and Dielectric Properties of BaO-Nd₂O₃-TiO₂ Microwave Ceramics with Glass-Ceramics(in Korean)," *J. Kor. Ceram. Soc.*, **41** [6] 444-49 (2004).
- O. Dernovsek, A. Naeini, G. Preu, W. Wersing, M. Eberstein, and W. A. Schiller, "LTCC Glass-Ceramic Composites for Microwave Application," *J. Eur. Ceram. Soc.*, **21** 1693-97 (2001).
- S. J. Hwang, Y. J. Kim, and H. S. Kim, "Microwave Dielectric Properties of La₂O₃-B₂O₃-TiO₂ Glass-Ceramic and BaNd₂Ti₅O₁₄ Ceramic System for LTCC Application(in Korean)," *J. Kor. Ceram. Soc.*, **41** [8] 599-604 (2004).
- Y. S. Oh, Y. S. Lee, W. H. Kang, B. H. Jung, and H. S. Kim, "Sintering and Dielectric Properties of K₂O-CaO-P₂O₅ Glasses-BNT(BaO-Nd₂O₃-TiO₂) Ceramic Composites(in Korean)," *J. Kor. Ceram. Soc.*, **40** [10] 954-60 (2003).
- C. H. Lu and Y. H. Huang, "Densification and Dielectric Properties of Barium Neodymium Titanium Oxide Ceramics," *Mater. Sci. Eng.*, **B98** 33-7 (2003).
- B. W. Hakki and P. D. Coleman, "A Dielectric Method of Measuring Inductive Capacitance in the Millimeter Range," *IRE Trans. Microwave Theory Tech.*, **8** 402-10 (1960).
- A. Marotta, A. Buri, and F. Branda, "Surface and Bulk Crystallization in Non-Isothermal Devitrification of Glasses," *Thermochim. Acta*, **40** 397-403 (1980).